

## II-144 鉛直刃形せき越流量の理論的算定法

和歌山工業高等専門学校 正員 田中光

[I] まえがき せきや水門の流量計算は水理学の入門書や参考書などにも記載されているが、ほとんどが実験式や実用公式のみであり、理論的な説明は省かれている。その主な理由は高度の理論を必要とするからである。本文は従来とは別の視野から、水の理論を初等水理学の延長線上に求め、簡単にしてしかも実験式に近づく精度をもち、実用性をも兼ねた理論解の開発を目的としている。従来せきの水理解析上の難点は、流量と水面形との同時決定を必要とする点にある。水面形の確定の為には支配断面を設定し、境界条件としてボランジエの法則を適用し、水路底の最高点を最少のエネルギーで流れるとする条件で水深や流量が求められる。しかし支配断面の付近は急変流に属するため初步の理論では不適当であるだけでなく、流速や圧力の分布、重力や遠心力を考慮した理論解でも、かんじんのせき頂付近では実験値との適合性がよくないと言われている。その他の方には2次元ポテンシャル論を用いた解法もあり、最近では複素関数や有限要素法等も使われるが、反復法によるなど莫大な手数を要し、実用性に乏しい。本文はわかりにくく、支配断面やボランジエの法則を避け、水面形を利用せざる連続及エネルギー一方程式の他に運動量の方程式をも同時に適用し、水平水路における長方形全幅せきの例をもつて流量計算法を示す。

[II] 解法の概要 図-1において断面IおよびIIについて、エネルギー(比エネルギー)及運動量(比力となる)の式をたてる。エネルギー損失を無視すると断面IIから先の各断面での比エネルギーと比力(水平分力のみ)はすべて断面IIにおける流水のそれと等しくなければならぬ。したがつて複雑な断面IIの代りに、下流で流れが単純化した断面II'で求めることにする。II'の位置としては米国開拓局測定の鉛直刃形せきナップ形状表から上下両側ナップがなるべく平行し、しかもせきからの水平距離( $x/E$ )が接近水頭( $ha/E$ )によって変らない鉛直断面として、表-1より下側ナップで $ha/E = 1$ ,  $x/E = 1/7$ の位置をとつた。そこでは

$$ha/E = 0.002 \sim 0.08$$

にあたり降下角を

$$\theta \text{ とすれば, } \tan \theta$$

$$\frac{\Delta x}{0.2} = 1.4, \cos \theta =$$

$$0.5812, \cos^2 \theta = 0.3378 \text{ となる。}$$

上側ナップ ( $-y/E$ ) 下側ナップ ( $-y/E$ ) 備考

$ha/E$	0.002	0.02	0.04	0.06	0.08	0.002	0.02	0.04	0.06	0.08	備考
$x/E$	1.6	0.32	0.32	0.33	0.33	0.34	0.85	0.86	0.87	0.87	$\left\{ \begin{array}{l} \text{この間に} \\ y/E = 1.0 \text{ は} \end{array} \right.$
$\theta$	1.8	0.60	0.60	0.61	0.61	0.61	1.13	1.14	1.15	1.16	1.16
$\Delta x/E$	0.2	0.28	0.28	0.28	0.28	0.27	0.28	0.28	0.29	0.28	$\Delta y/\Delta x = 1.4$

表-1 鉛直刃形せきナップ形状

(1) 連続の式： I, II' 両断面について考える。単位幅の流量を  $q$  とし、平均流速を  $v_a$  とするとき  $q = (H + hd)v_a$   
 $= \int_0^h v_a dz \cos \theta = \int_0^h \sqrt{2g(2E - z)} \cos \theta dz \therefore q/2g = (H + hd)\sqrt{ha} = \frac{2}{3} \cos \theta \{(2E)^{3/2} - (2E - h)^{3/2}\}$  ————— (1)

(2) 比力の式： i) I 断面の比力  $\frac{P}{w} \left[ \frac{w}{2} (H + hd)^2 + P(H + hd)v_a \times v_a \right] = \frac{(H + hd)^2}{2} + 2(H + hd)ha$  ii) II' 断面のせき板にかかる比力は  $P/w$  とし iii) II' 断面の流水の比力の水平成分  $\frac{1}{w} \int_0^h P \Delta g (v_a \cos \theta) = \frac{1}{w} \int_0^h P (vdz \cos \theta) (v \cos \theta)$   
 $= \frac{1}{w} \int_0^h P \cos^2 \theta dz = \frac{P \cos^2 \theta}{w} \int_0^h (\sqrt{2g(2E - z)})^2 dz = \cos^2 \theta \{4Eh - h^2\}$  上式中  $E = H + ha$  であり、積分は後記の理由により常数的に取つていい。I 断面と (II - II') 両断面の比力が等しく  $\frac{(H + hd)^2}{2} + 2(H + hd)ha = \frac{P}{w} + \cos^2 \theta (4Eh - h^2)$  ————— (2)

なおベルヌーイの定理は上式中  $v = \sqrt{2gE}$  の形式により式(1)(2)は組込まれてある。両式には未知量は  $ha, E, h, P$  の4個あるが、 $q$  の仕事の値  $q'$  に対して  $E$  や  $P$  は定まり(後で説明)連立方程式(1)(2)を解けば  $ha$  と  $P$  は求まる。これより  $q = h_a \sqrt{2gha}$  により  $q$  を求め、パラメータ  $-y/E$  と一致する迄計算をくり返す。

(3) せき板にかかる水平力  $P$ ： せき板の内面の水の運動は2次元ポテンシャル論に従うものとして流線

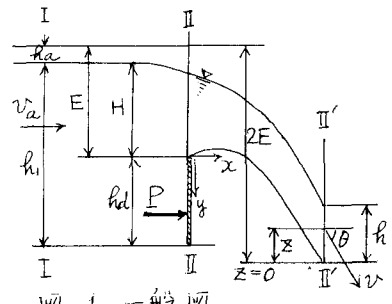


図-1 一般図

網図を参考にして、近似的な等流速線図を描く。先づせき頂Aから $\frac{1}{2}E$ の点Oを中心として半径 $r$ の $\frac{1}{4}$ 円弧 $GC$ を引き、船直に常流水位まで延ばし、 $GCD$ をもつて等流速線図とみなす。水面との差の微小間隙は無視し、流速ひく直角とする。 $GCD = \frac{2\pi r}{4} + (H - \frac{E}{2}) = \frac{\pi}{2} \{(hd + \frac{E}{2}) - z\} + (H - \frac{E}{2}) = (\frac{\pi}{2} - 1) \frac{E}{2} + (\frac{\pi}{2} hd + H) - \frac{\pi}{2} z$ となり、 $GCD = (f - \frac{\pi}{2} z)$ となる。

連続の式から  $g = v \times GCD \therefore v = g / (f - \frac{\pi}{2} z)$

せき板面の分布圧力を $P$ として、ベルヌーイの定理を適用すると  
 $E + hd = z + \frac{P}{\rho g} + \frac{v^2}{2g}$ であるから、 $P_w = (E + hd) - z - \frac{g^2}{2g} = (f - \frac{\pi}{2} z)^2$   
 なり全圧力を $P$ とすると  $P_w = \int_{z_0}^{hd} \frac{P}{\rho g} dz = \int_{z_0}^{hd} (E + hd) dz - \int_{z_0}^{hd} zdz - \int_{z_0}^{hd} \frac{g^2}{2g} dz = \frac{1}{2} (E + hd)^2 - \frac{1}{2} E^2 - \frac{g^2}{\pi g} \{1/(f - \frac{\pi}{2} hd) - 1/f\}$   
 $\therefore P_w = P_w - \frac{g^2}{\pi g} \{1/(f - \frac{\pi}{2} hd) - 1/f\}$  (3)

たゞし  $P_w = \frac{1}{2} (E + hd)^2 - \frac{1}{2} E^2, f = (\frac{\pi}{2} - 1) \frac{E}{2} + (\frac{\pi}{2} hd + H)$

したがつて  $P, P_w, f$  は  $E$  と同様パラメータ $-g$  を指定すれば定まり、以後これらには $(')$ をつけて区別する。

[III] 計算  $\cos \theta = 0.5812, \cos^2 \theta = 0.3378, \omega = 1.0$  とす

(1) 計算式：式(1)を変形し  $h = 2E' - \left\{ (2E')^{3/2} - \frac{3}{2} \frac{(H+hd)}{\cos \theta} \sqrt{ha} \right\}^{2/3} \therefore h = 2E' - \left\{ 2.828 E'^{3/2} - 2.5807 (H+hd) \sqrt{ha} \right\}^{2/3}$  (4)  
 式(2)で  $S_1 = \frac{(H+hd)^2}{2 \cos^2 \theta}, S_2 = \frac{2(H+hd)}{\cos^2 \theta}$  における  $h^2 - 4E'h + (S_1 - \frac{P}{\rho g \cos^2 \theta}) + S_2 ha = 0$  となり根 $h$ を求める  
 (2) 計算例  $h = 2E' - \left\{ 4E'^2 - \left\{ (S_1 - \frac{P}{\rho g \cos^2 \theta}) + S_2 ha \right\}^{1/2} \right\}^{1/2}$  (5)

船直双形せきのせき高  $hd = 0.75m$ 、越流水深  $H = 0.45m$  のときの越流量を求める。

解法： $\cos^2 \theta = 0.3378, S_1 = \frac{(H+hd)^2}{2 \cos^2 \theta} = 2.1314, S_2 = \frac{2(H+hd)}{\cos^2 \theta} = 7.1048$

次にパラメータ $-g' = 0$  とおくと  $v'_a = \frac{g'}{R_a} = 0, R_a = \frac{V_a}{2g} = 0, E' = H + ha' = 0.45$   
 $P'_o = \frac{1}{2} (E' + hd)^2 - \frac{1}{2} E'^2 = 0.6187, f' = (\frac{\pi}{2} - 1) \frac{E'}{2} + (\frac{\pi}{2} hd + H) = 1.7565, P' = P_o - \frac{g^2}{\pi g} \{1/(f - \frac{\pi}{2} hd) - 1/f\} = 0.6187$ 、以上でパラメータ $-g'$ に関するデータを終り立方程式の根を求める。

以下理上式(4),(5)から求めた根 $h$ をそれぞれ $h_4, h_5$ とする。

i)  $ha = 0$  において：式(4)より  $h_4 = 2E' - \left\{ 2.828 E'^{3/2} - 2.5807 (H+hd) \sqrt{ha} \right\}^{2/3} = 0$

式(5)より  $h_5 = 2E' - \left\{ 4E'^2 - \left\{ (S_1 - \frac{P}{\rho g \cos^2 \theta}) + S_2 ha \right\}^{1/2} \right\}^{1/2} = 0.1857$

ii)  $ha = 0.01$  において：前と同様の計算で  $h_4 = 0.2336, h_5 = 0.2373$  となり、図-3 のように横軸に  $ha$ 、縦軸に  $h$  をとり、直線  $h_4$  と  $h_5$  の交点  $ha = 0.0107, h = 0.24$  はパラメータ $-g' = 0$  のときの根である。これをより  $g = h_1 \sqrt{2g ha} = 0.549$  次に  $g' = 0.549$  はとて前と同様にして根を求めるところ  $g = 0.556$  とあって、ほぼ前と同値になるので後の  $g$  はとて、 $g = 0.556 m/s^2$  をもって越流量とする。この値を JIS 公式  $g = KH^{3/2}$ 、 $K = 1.785 + \frac{0.00295}{H} + 0.237 \frac{H}{hd}$  による値  $0.584 m^3/s$  と比較すると  $\alpha = \frac{0.556}{0.584} = 0.952$  (差 4.8%) となる。以上は  $H/hd = \frac{0.45}{0.75} = \frac{3}{5}$  の場合であつたが、 $H = 0.15m$  をもつ  $H/hd = \frac{1}{5}$  のときは  $\alpha = 0.944$  (差 5.6%),  $H = 0.75m$  で  $H/hd = \frac{5}{7}$  のときは  $\alpha = 0.986$  (差 1.4%) となつて、かなりの精度に達しているので、理論としては妥当と考える。

実用化にはナップ関係、せき上部の近似等流曲線のとり方、摩擦損失等のロス、その他種々の要素が考えられるが、これらにつれては補正が必要があらう。或は単に流量係数 1.04 をかけるのもよい。

[IV] おわりに 本文は長方形全幅せきの例であつたが、本理論によればせき板に作用する水平方向の分力と越流後のナップ特定部分の降下角、平行性、圧力の状況が捕捉出来れば流量を求めるので、これらを測定することにより他の複雑な形状のせきにも応用出来るはずである。また同じ原理は水門やオリフィスにも適用可能であり、せきの場合との相違は端末部分の条件の違いのみとなる。また跳水現象についても興味ある結果が得られる。

参考文献：田中光、跳水現象の把握に関する考察（55年度土木学会関西支部講演概要）

田中光、小池一臣、gate 流出量の理論的算定（56年度土木学会関西支部講演概要）

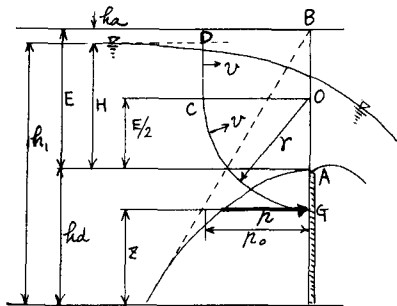


図-2 近似等流速線図

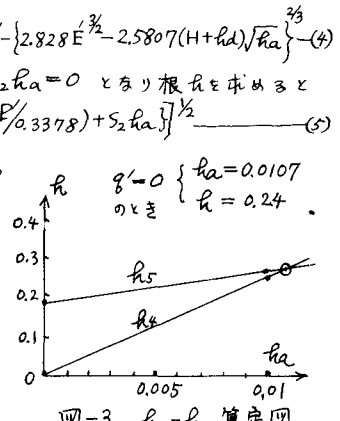


図-3 ha-h 算定図